

## СОСТАВ И ОТНОСИТЕЛЬНАЯ УСТОЙЧИВОСТЬ ПРОДУКТОВ ВЗАИМОДЕЙСТВИЯ ОКСИДА СЕРЫ (IV) С ВОДНЫМИ РАСТВОРАМИ МОРФОЛИНА И N-АЛКИЛИРОВАННЫХ ПРОИЗВОДНЫХ МОНОЭТАНОЛАМИНА

<sup>1</sup>Одесский национальный университет имени И.И. Мечникова, г. Одесса

<sup>2</sup>Физико-химический институт защиты окружающей среды и человека МОН и НАН Украины, г. Одесса

Методами pH-, редокс- и кондуктометрического титрования изучено взаимодействие оксида серы (IV) с водными 0,1 М растворами N,N-диметилмоноэтаноламина, N,N-диэтилмоноэтаноламина, N-(аминоэтил)моноэтаноламина и морфолина при 293 К. Установлен состав образующихся соединений. Показано, что образованию “ониевых” сульфитов отвечают положения первых максимумов на дифференциальных pH-метрических кривых титрования, а гидро- и пиросульфитов – вторых минимумов на дифференциальных редоксметрических кривых.

**Ключевые слова:** оксид серы (IV), этаноламины, морфолин, водные растворы, взаимодействие.

Настоящая работа предпринята в развитие систематических исследований в области разработки теоретических основ хемосорбции оксида серы (IV) N,O-содержащими органическими основаниями [1]. Ранее на примере систем “SO<sub>2</sub>–Am–H<sub>2</sub>O” (Am – этаноламины, гексаметилендиамин, гексаметилентетрамин, этилендиамин и его производные) [2–10] было показано, что при взаимодействии оксида серы (IV) с водными растворами N,O-содержащих органических оснований основными продуктами взаимодействия являются “ониевые” сульфиты, гидросульфиты и пиросульфиты протонированных форм указанных Am, которые фиксировались в растворах методами pH-, редокс- и кондуктометрии [2–6,8,10], а также были выделены в индивидуальном состоянии [7,9].

В данной работе представлены результаты pH-, редокс- и кондуктометрического изучения хемосорбции оксида серы (IV) водными растворами N-алкилированных производных моноэтаноламина (МЭА) – N,N-диметил- (ДММЭА), N,N-диэтил- (ДЭМЭА) и N-аминоэтилмоноэтаноламина (АЭМЭА) – и морфолина (МР) при 293 К с целью установления состава и относительной устойчивости продуктов взаимодействия.

Методика проведения эксперимента детально описана в [6].

В случае N,N-диалкилпроизводных МЭА (ДММЭА, ДЭМЭА) и МР на интегральных pH-метрических кривых (рис. 1) наблюдается два

скачка, а на дифференциальных (рис. 2) – два максимума при соотношении SO<sub>2</sub>:Am=0,4:1,0 и SO<sub>2</sub>:Am≈0,7:1,0, что меньше ожидаемых 0,5:1,0 и 1,0:1,0, соответственно [8]. При этом, очевидно, образуются “ониевые” сульфиты и гидросульфиты (пиросульфиты):

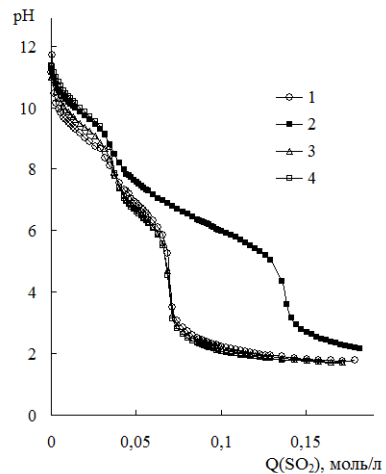
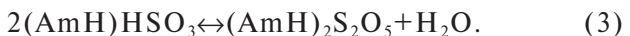


Рис. 1. Интегральные pH-метрические кривые титрования водных растворов МР (1), АЭМЭА (2), ДММЭА (3) и ДЭМЭА (4) газообразным SO<sub>2</sub>. C<sub>Am</sub>=0,1 моль/л; T=293 К.  
1 – МР; 2 – АЭМЭА; 3 – ДММЭА; 4 – ДЭМЭА

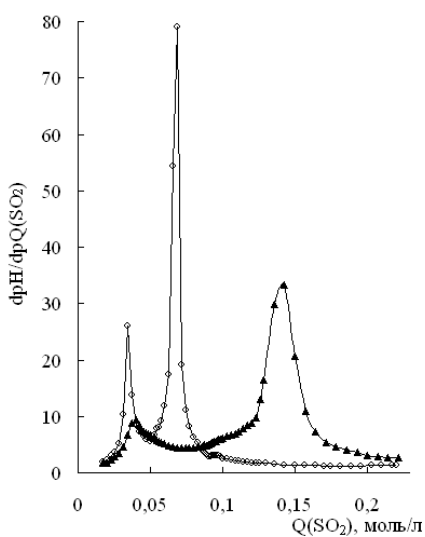
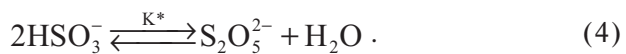


Рис. 2. Дифференциальные рН-метрические кривые титрования водных растворов ДМЭА (1) и АЭМЭА (2) газообразным  $\text{SO}_2$ .  $C_{\text{Am}}=0,1$  моль/л;  $T=293$  К

Отклонение положения экстремумов на дифференциальных (как и середины скачка титрования на интегральных) рН-метрических кривых титрования от ожидаемой строгой стехиометричности наблюдается также в случае систем  $\text{HBF}_4\text{-Am}-\text{H}_2\text{O}$  и  $\text{H}_2\text{SiF}_6\text{-Am}-\text{H}_2\text{O}$  [11,12]. Этот факт объясняется нами [6] одновременным образованием нескольких продуктов, связанным с гидролитическими превращениями. Второе отклонение от ожидаемой стехиометричности (аналогично [8]) может также быть обусловлено изменением ионной силы раствора, вызванным установлением равновесия (4). Последнее приводит к заметному изменению активности ионов  $\text{H}^+$  при сравнительно малом изменении концентраций гидросульфит- и пиросульфит-ионов.

Таким образом, N,N-диалкилирование МЭА или заключение его в циклическое соединение (МП) приводит к понижению поглотительной способности полученных соединений по отношению к  $\text{SO}_2$ .

При введении аминоэтиленового фрагмента в молекулу МЭА путем замещения атома Н NH<sub>2</sub>-группы (получив АЭМЭА) прослеживается следующая картина: первый максимум на дифференциальной кривой (рис. 2,б) наблюдается при соотношении  $\text{SO}_2:\text{Am}\approx 1,0:2,0$  соответствует образованию “моноониевого” сульфита  $[\text{H}_2\text{NCH}_2\text{CH}_2\text{NH}_2\text{CH}_2\text{CH}_2\text{OH}]_2(\text{SO}_3)$ , а второй при соотношении  $\text{SO}_2:\text{Am}\approx 3,0:2,0$  (связано с образованием смешанной соли – сульфита-гидросульфита  $[\text{H}_3\text{NCH}_2\text{CH}_2\text{NH}_2\text{CH}_2\text{CH}_2\text{OH}](\text{SO}_3)_2 \times [\text{H}_3\text{NCH}_2\text{CH}_2\text{NH}_2\text{CH}_2\text{CH}_2\text{OH})(\text{HSO}_3)_2$ , подобно этилендиамину [10]). То есть, за счет протонирования один N-атом связан в сульфитную форму, а второй – в гидросульфитную. При этом соотношение S:N=3:4.

Как было показано [8], устойчивость “ониевых” сульфитов симбатно связана с характеристиками интегральных ( $\Delta\text{pH}_{1/2}$ ) и дифференциальных ( $S_{1/2}$ ) рН-метрических кривых титрования  $\text{SO}_2$  водных растворов этаноламинов. Согласно данным, представленным в табл. 1, устойчивость “ониевых” сульфитов коррелирует с основностью лигандов (производных МЭА), аналогично, описанной в [8]. По относительной устойчивости этаноламмонийных сульфитов в водных растворах (значения  $S_{1/2}$  в табл. 1) можно расположить в следующий ряд:



Для гидросульфитов порядок противопо-

Таблица 1

**Характеристики максимумов на дифференциальных рН-метрических кривых титрования водных растворов этаноламинов и морфолина газообразным оксидом серы (IV)**

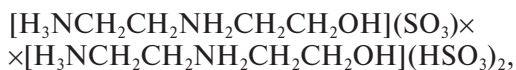
I-ый эффект*,**				II-ой эффект*,**			
SO <sub>2</sub> :Am	pH/pQ(SO <sub>2</sub> )	S <sub>1/2</sub>	ΔpH <sub>1/2</sub>	SO <sub>2</sub> :Am	pH/pQ(SO <sub>2</sub> )	S <sub>1/2</sub>	ΔpH <sub>1/2</sub>
морфолин ( $\text{pK}_a=8,36$ [13])							
0,39:1,0	8,39	0,087	1,15	0,69:1,0	90,9	0,555	1,55
$\text{N},\text{N}$ -диметилмоноэтаноламин ( $\text{pK}_a=9,23$ [14])							
0,37:1,0	15,2	0,149	0,95	0,72:1,0	81,8	0,537	1,25
$\text{N},\text{N}$ -диэтилмоноэтаноламин ( $\text{pK}_a=9,76$ [14])							
0,37:1,0	24,2	0,189	0,95	0,72:1,0	79,5	0,521	1,15
$\text{N}$ -(аминоэтил)моноэтаноламин (9,20 [15])							
0,50:1,0	10,53	0,151	1,00	1,40:1,0	81,8	0,852	1,60

Примечание: \* –  $S_{1/2}$  – площадь под отрезком дифференциальной кривой, лежащим между точками соответствующего максимума и последующего минимума; \*\* –  $\Delta\text{pH}_{1/2}$  – высота скачка на интегральной кривой рН-метрического титрования, находящегося между точкой середины скачка титрования и его концом.

ложный:



АЭМЭА из последнего выпадает, так как второй максимум характеризуется образованием смешанной соли



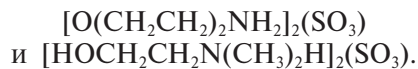
в отличие от других производных МЭА.

Наблюдаемое противоречие объясняется различным строением (связыванием) образуемых “ониевых” сульфитов и гидросульфитов. Кроме того, уменьшение основности, как правило, сопровождается ростом Н-донорной способности соответствующих фрагментов ( $-\text{NH}_n^+$ ,  $-\text{OH}$ ), что, очевидно, и приводит к наблюдаемому увеличению устойчивости Н-связанных гидросульфитных комплексов.

Данные редокс- и кондуктометрического титрования водных растворов ДММЭА и МР газообразным оксидом серы (IV) представлены на рис. 3 и 4, соответственно. На редоксметрических кривых наблюдается несколько экстремумов (рис. 3, табл. 2). Первый минимум на интегральных кривых титрования строго соответствует образованию “ониевых” сульфитов ( $\text{SO}_2:\text{Am}=1,0:2,0$ ), а последний максимум на дифференциальных — “ониевых” гидро-, либо пиросульфитов ( $\text{SO}_2:\text{Am}=1,0:1,0$ ).

Участки кондуктометрических кривых (рис. 4) с положительными значениями  $\Delta k$  с максимумами при соотношении  $\text{SO}_2:\text{Am} \approx (0,31 \div 0,34):1,0$ , отвечающим первым эффектам на pH-метрических кривых (рис. 1, 2; табл. 1),

соответствуют образованию сульфитов состава



Очевидно, указанные соединения отличаются высокой степенью диссоциации, подобно соответствующим комплексам с “ониевыми” катионами N,N,N’N’-тетраметилэтилендиамина, диэтилентриамина, в отличие от этилендиамина, пиперазина и полиэтиленполиамина [10]. На кондуктометрических кривых (рис. 4) последние максимумы с  $\Delta k < 0$  указывают на образование слабодиссоциированных “ониевых” гидро-, либо пиросульфитов ( $\text{SO}_2:\text{Am}=1,0:1,0$ ) [16], аналогично системам с этаноламиналами [8] и диэтилентриамином [10].

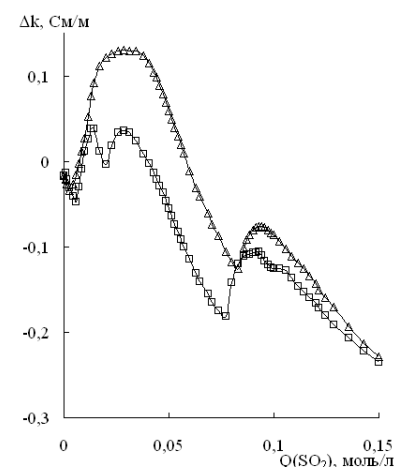


Рис. 4 Кондуктометрические кривые титрования водных растворов ДММЭА (1) и МР (2) газообразным  $\text{SO}_2$ .  $C_{\text{Am}}=0,1$  моль/л;  $T=293$  К

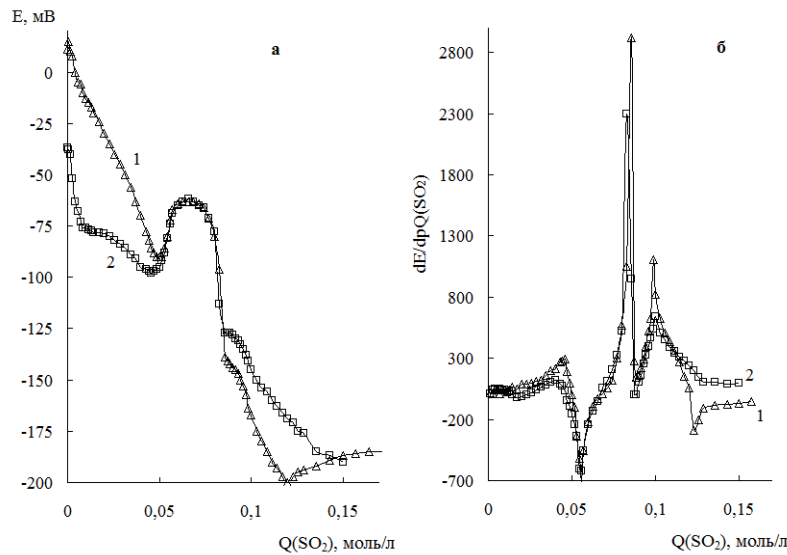


Рис. 3 Интегральные (а) и дифференциальные (б) потенциометрические кривые титрования водных растворов ДММЭА (1) и МР (2) газообразным  $\text{SO}_2$ .  $C_{\text{Am}}=0,1$  моль/л;  $T=293$  К

## Состав и относительная устойчивость продуктов взаимодействия оксида серы (IV) с водными растворами морфолина и N-алкилированных производных моноэтаноламина

Таблица 2

**Характеристики редоксметрических кривых титрования 0,1 М растворов МР и ДММЭА газообразным оксидом серы (IV) при 293 К**

Эффект	SO <sub>2</sub> :Am	Интегральная		Дифференциальная	
		вид	E, мВ	вид	dE/dpQ(SO <sub>2</sub> )
морфолин ( $pK_a=8,36$ [13])					
I-ый	0,40		-70	макс	215
II-ой	0,50	мин	-90		0
III-ий	0,55		-75	мин	-620
IV-ый	0,85		-125	макс	950
V-ый	0,90		-130	мин	100
VI-ый	1,00		-145	макс	640
VII-ый	1,20		-170	мин	240
N,N-диметилмоноэтаноламин ( $pK_a=9,23$ [14])					
I-ый	0,45		-85	макс	290
II-ой	0,50	мин	-95		0
III-ий	0,55		-70	мин	-710
IV-ый	0,685	макс	-65		0
V-ый	0,85		-140	макс	2920
VI-ый	0,90		-145	мин	160
VII-ый	1,00		-170	макс	820

Использование методов pH-, редокс- и кондуктометрии, данные которых подтверждают и дополняют друг друга, позволяет получить непротиворечивую и объективную информацию о составе “ониевых” соединений, образующихся в системах “SO<sub>2</sub>–Am–H<sub>2</sub>O”, что согласуется с [6,8,10]. Полученные результаты могут быть использованы при разработке методов санитарной очистки воздуха от SO<sub>2</sub>.

### СПИСОК ЛИТЕРАТУРЫ

- Гельмбольдт В.О., Хома Р.Е., Эннан А.А. Органические основания в процессах улавливания и утилизации оксида серы (IV) (обзор) // Энерготехнологии и ресурсосбережения. – 2008. – № 4. – С.51-58.
- Хома Р.Е., Шестака А.А., Гельмбольдт В.О. Состав и относительная устойчивость продуктов взаимодействия оксида серы (IV) с водными растворами этаноламинов // Вопр. химии и хим. технологии. – 2009. – № 5. – С.86-89.
- Хома Р.Е., Шестака О.О., Гельмбольдт В.О. Взаимодействие оксида серы (VI) с водными растворами моноэтаноламина // Вестник ОНУ. Сер. Химия. – 2010. – Т.15. – № 12. – С.34-44.

4. *O составе продуктов взаимодействия оксида серы (IV) с водными растворами этаноламинов / Р.Е. Хома, А.А. Шестака, А.А. Эннан, В.О. Гельмбольдт // Вестник ОНУ. Химия. – 2011. – Т.16. – № 5. – С.105-113.*

5. *Хома Р.Е. Гидролитическая устойчивость «ониевых» сульфитов этаноламинов и аминов // Вопр. химии и хим. технологии. – 2011. – № 4(2). – С.253-255.*

6. *Комплексобразование оксида серы (IV) с гексаметилентетрамином и гексаметилендиамином в воде / Хома Р.Е., Шестака А.А., Сохраненко Г.П., Гавриленко М.И., Гельмбольдт В.О. // Журн. прикл. химии. – 2011. – Т.84. – № 1. – С.18-24.*

7. *Спектральные характеристики продуктов взаимодействия оксида серы (IV) с водными растворами этаноламинов / Хома Р.Е., Гельмбольдт В.О., Короева Л.В., Эннан А.А., Мазепа А.В., Брусиловский Ю.Э. // Вопр. химии и хим. технологии. – 2012. – № 1. – С.133-136.*

8. *Хома Р.Е., Шестака А.А., Гельмбольдт В.О. О взаимодействии оксида серы (IV) с водными растворами этаноламинов // Журн. прикл. химии – 2012. – Т.86. – № 11. – С.1756-1765.*

9. *Спектральные характеристики продуктов взаимодействия оксида серы (IV) с водными растворами N-алкилированных производных моноэтаноламина / Р.Е. Хома, А.А. Эннан, А.В. Мазепа, В.О. Гельмбольдт // Вопр. химии и хим. технологии. – 2013. – № 1. – С.136-138.*

10. *Хома Р.Е. Состав и относительная устойчивость продуктов взаимодействия оксида серы (IV) с водными растворами этилендиамина и его производных // Журн. общей химии. – 2015. – Т.85. – № 4. – С.554-562.*

11. Чеботарев А.Н., Новак И.В., Маркова В.Г. Кислотно-основное взаимодействие тетрафторборной кислоты с сильными азотсодержащими органическими основаниями // Известия ВУЗов. Сер. Химия и хим. технологии. – 1991. – Т.34. – № 2. – С.13-18.

12. Потенциометрическое изучение кислотно-основных равновесий в системе “гексафторокремневая кислота – вода – азотсодержащее органическое основание” / А.Н. Чеботарев, Е.М. Рахицкая, Р.Е. Хома, С.В. Качан // Вестник ОНУ. Сер. Химия. – 2005. – Т.10. – № 8. – С.121-130.

13. Hall H.K.Jr. Correlation of the Base Strengths of Amines // J. Am. Chem. Soc. 1957. – Vol.79. – P.5441-5444.

14. Littel R.J., Bos M., Knoor G.J. Dissociation Constants of Some Alkanolamines at 293, 303, 318, and 333 K // J. Chem. Eng. Data. – 1990. – Vol.35. – P.276-277.

15. Khalili F., Henni A., East A.L.L. Entropy contributions in pKa computation: Application to alkanolamines and piperazines // J. Mol. Str. Theochem. – 2009. – № 916. – P.1-9.

16. Худякова Т.А., Крешков А.П. Кондуктометрический метод анализ. – М.: Высшая школа, 1975. – 207 с.

Поступила в редакцию 06.05.2015

THE COMPOSITION AND THE RELATIVE STABILITY OF PRODUCTS OF SULFUR DIOXIDE INTERACTION WITH MORPHOLINE AND N-ALKYLATED MONOETHANOLAMINES DERIVATIVES IN AQUEOUS SOLUTIONS

R.E. Khoma

Odessa I.I. Mechnikov National University, Odessa, Ukraine  
Physico-Chemical Institute of Environment and Human Protection, Odessa, Ukraine

The results of pH, redox and conductivity studies of sulfur dioxide chemisorption by aqueous solutions containing some N-alkylated derivatives of monoethanolamine (MEA) (*N,N*-dimethyl-(DMMEA), *N,N*-diethyl- (DEMEA) and *N*-aminoethylmonoethanolamine (AEMEA)) and morpholine (MP) are described. The measurements are conducted at 293 K in order to determine the composition and relative stability of the interaction products. This reaction is accompanied by a formation of a sulfite, bisulfite and pyrosulfite of monoethanolammonium and morpholinium cations. The observed deviation of the position of the extreme in the differential pH-metric titration curves (as well as the mid jump in integral ones) from the expected strict stoichiometry is due to the simultaneous formation of a few products as a result of hydrolytic transformations and changes in an ionic strength caused by reaching an equilibrium «hydrósulfite–pyrosulphite». The *N,N*-dialkylation of MEA or its insertion into a cyclic compound (MP) are shown to reduce the absorbency of the prepared compounds in respect to  $\text{SO}_2$ . «Onium» sulfites stability correlates with the ligand (*i.e.* MEA derivatives) basicity. The relative stability of ethanol ammonium sulphites in aqueous solutions may be ranged as follows: DEMEA>AEMEA>>DMMEA>MP. This range is transformed into MP>DMMEA>>DEMEA for hydrósulfites. The use of pH, redox and conductivity measurements data, which are mutually complementary, allows obtaining consistent and objective information on the «onium» compounds formed in the systems  $\text{SO}_2\text{--Am--H}_2\text{O}$ . The results obtained can be used in the development of methods for sanitary air cleaning from  $\text{SO}_2$ .

**Keywords:** sulfur dioxide; ethanolamines; morpholine; aqueous solutions; interaction.

REFERENCES

1. Gelboldt V.O., Khoma R.E., Ennan A.A. Organicheskie osnovaniya v protsessakh ulavlivaniya i utilizatsii oksida sery (IV) (obzor) [Organic bases in the processes of catching and utilization of sulfur (IV) oxide (A review)]. *Energy Technologies and Resource Saving*, 2008, no 4, pp. 51-58. (in Russian).
2. Khoma R.E., Shestaka A.A., Gelboldt V.O. Sostav i otnositel'naya ustoichivost' produktov vzaimodeistviya oksida sery (IV) s vodnymi rastvorami etanolaminov [The composition and the relative stability of products of sulfur(IV) oxide interaction with ethanolamines in aqueous solutions]. *Voprosy khimii i khimicheskoi tekhnologii*, 2009, vol. 5, pp. 86-89. (in Russian).
3. Khoma R.E., Shestaka A.A., Gelboldt V.O. Vzaimodeistvie oksida sery (VI) s vodnymi rastvorami monoethanolamina [Sulphur dioxide interaction with monoethanolamine aqueous solutions]. *Visn. Odes. Nats. Univ. Khim.*, 2010, vol. 15, no. 12, pp. 34-44. (in Russian). Available at: <http://dx.doi.org/10.18524/2304-0947.2010.12.38519>.
4. Khoma R.E., Shestaka A.A., Ennan A.A., Gelboldt V.O. O sostave produktov vzaimodeistviya oksida sery (IV) s vodnymi rastvorami etanolaminov [On the composition of interaction products of sulfur dioxide with ethanolamines in aqueous solutions]. *Visn. Odes. Nats. Univ. Khim.*, 2011, vol. 16, no. 5, pp. 105-113. (in Russian). Available at: <http://dx.doi.org/10.18524/2304-0947.2011.5.38026>.
5. Khoma R.E. Gidroliticheskaya ustoichivost' «onievyy» sul'fitov etanolaminov i aminov [Hydrolysis stability of ethanolamines and amines «onium» sulphites]. *Voprosy khimii i khimicheskoi tekhnologii*, 2011, vol. 4(2), pp. 253-255. (in Russian).
6. Khoma R.E., Shestaka A.A., Gavrilenko M.I., Sokhranenko G.P., Gel'mbol'dt V.O. Complexing of sulfur(IV) oxide with hexamethylenetetramine and hexamethylenediamine in aqueous solutions. *Russian Journal of Applied Chemistry*, 2011, vol. 84, no. 1, pp. 17-24.
7. Khoma R.E., Gel'mboldt V.O., Koroeva L.V., Ennan A.A., Mazepa A.V., Brusilovskiy Yu.E. Spektral'nye kharakteristiki produktov vzaimodeistviya oksida sery (IV) s vodnymi rastvorami etanolaminov [Spectral characterization of the products of sulphur (IV) oxide interaction with ethanolamines in aqueous solutions]. *Voprosy khimii i khimicheskoi tekhnologii*, 2012, vol. 1, pp. 133-136. (in Russian).
8. Khoma R.E., Shestaka A.A., Gel'mbol'dt V.O. On interaction of sulfur (IV) oxide with aqueous solutions of ethanolamines. *Russian Journal of Applied Chemistry*, 2012, vol. 85, no. 11, pp. 1667-1675.
9. Khoma R.E., Ennan A.A., Mazepa A.V., Gel'mboldt V.O. Spektral'nye kharakteristiki produktov vzaimodeistviya oksida sery (IV) s vodnymi rastvorami N-alkilirovannykh proizvodnykh monoethanolamina [Spectral characterization of products interaction of sulphur dioxide with N-alkylated monoethanolamines derivatives in aqueous solutions]. *Voprosy khimii i khimicheskoi tekhnologii*, 2013, vol. 1, pp. 136-138. (in Russian).
10. Khoma R.E. Complex formation of sulfur (IV) oxide with ethylenediamine and its derivatives in water. *Russian Journal of General Chemistry*, 2015, vol. 85, no. 4, pp. 802-809.
11. Chebotarev A.N., Novak I.V., Markova V.G. Kislotno-osnovnoe vzaimodeistvie tetaftorbornoi kislotoy s sil'nymi azotsoderzhaschimi organicheskimi osnovaniyami [Acid-base interaction of tetrafluoroboric acid with strong organic nitrogenous bases]. *Izvestiya Vysshikh Uchebnykh Zavedeniy. Seriya Khimiya i Khimicheskaya Tekhnologiya*, 1991, vol. 34, no. 2, pp. 13-18. (in Russian).
12. Chebotarev A.N., Rakhlitckaya E.M., Khoma R.E., Kachan C.V. Potentsiometricheskoe izuchenie kislotno-osnovnykh ravnovesii v sisteme «geksaftorokremnevaya kislota – voda – azotsoderzhaschee organicheskoe osnovanie» [Potentiometric investigation of the acid-basic equilibria in system «hexafluorosilicic acid – water – nitrogen-containing organic base»]. *Visn. Odes. Nats. Univ. Khim.*, 2005, vol., 10, no. 9, pp. 85-96. (in Russian).
13. Hall H.K.Jr. Correlation of the base strengths of amines. *Journal of the American Chemical Society*, 1957, vol. 79, pp. 5441-5444.
14. Littel R.J., Bos M., Knoop G.J. Dissociation constants of some alkanolamines at 293, 303, 318, and 333 K. *Journal of Chemical & Engineering Data*, 1990, vol. 35, pp. 276-277.
15. Khalili F., Henni A., East A.L.L. Entropy contributions in pKa computation: Application to alkanolamines and piprazines. *THEOCHEM Journal of Molecular Structure*, 2009, no. 916, pp. 1-9.
16. Khudyakova T.A., Kreshkov A.P., *Konduktometricheskii metod analiza* [Conductometric method of analysis]. Vysshaya Shkola, Moscow, 1975. 207 p. (in Russian).